
EPILEPTIC SEIZURE PREDICTION USING PEARSON'S PRODUCT-MOMENT CORRELATION COEFFICIENT OF A LINEAR CLASSIFIER FROM GENERALIZED GAUSSIAN MODELING

A PREPRINT

Antonio Quintero-Rincón, Carlos D'Giano

Centro Integral de Epilepsia y Telemetría
Fundación Lucha contra las Enfermedades Neurológicas Infantiles (FLENI)
Buenos Aires, Argentina
tonioquintero@ieee.org, cdigiano@fleni.org.ar

Marcelo Risk

Departamento de Bioingeniería
Instituto Tecnológico de Buenos Aires (ITBA)
Buenos Aires, Argentina
mrisk@itba.edu.ar

April 5, 2021

ABSTRACT

Predecir una crisis epiléptica, significa la capacidad de determinar de antemano el momento de una crisis con la mayor precisión posible. Un pronóstico correcto de un evento epiléptico en aplicaciones clínicas es un problema típico en procesamiento de señales biomédicas, lo cual ayuda a un diagnóstico y tratamiento apropiado de esta enfermedad. En este trabajo, utilizamos el coeficiente de correlación producto-momento de Pearson a partir de las clases de un clasificador lineal estimandos usando los parámetros de la distribución Gaussiana generalizada. Esto con el fin de poder pronosticar eventos con crisis y eventos con no-crisis en señales epilépticas. El desempeño en 36 eventos epilépticos de 9 pacientes, muestran un buen rendimiento con un 100% de efectividad para sensibilidad y especificidad superior al 83% para eventos con crisis en todos los ritmos cerebrales. El test de Pearson sugiere que todos los ritmos cerebrales están altamente correlacionados en los eventos con no-crisis, más no durante los eventos con crisis. Esto sugiere que nuestro modelo puede escalarse con el coeficiente de correlación producto-momento de Pearson para la detección de crisis en señales epilépticas.

To predict an epileptic event, means the ability to determine in advance the time of the seizure with the highest possible accuracy. A correct prediction benchmark for epilepsy events in clinical applications, is a typical problem in biomedical signal processing that help to an appropriate diagnosis and treatment of this disease. In this work we use Pearson's product-moment correlation coefficient from generalized Gaussian distribution parameters coupled with linear-based classifier to predict between seizure and non-seizure events in epileptic EEG signals. The performance in 36 epileptic events from 9 patients showing a good performance with 100% of effectiveness for sensitivity and specificity greater than 83% for seizures events in all brain rhythms. Pearson's test suggest that all brain rhythms are highly correlated in non-seizure events but no during the seizure events. This suggests that our model can be scaled with the Pearson product-moment correlation coefficient for the detection of epileptic seizures.

Keywords Pearson's product-moment correlation coefficient · Generalized Gaussian distribution · EEG · Linear classifier · Epilepsy · Prediction

1 Introducción

El diagnóstico y tratamiento adecuado de la epilepsia es uno de los principales problemas de la salud pública según la Organización Mundial de la Salud. En todo el mundo hay más de 50 millones de personas que padecen algún tipo de epilepsia, casi el 80 % de ellas en regiones en desarrollo, donde tres cuartas partes no reciben un diagnóstico y tratamiento apropiado [1]. Los pacientes que padecen esta enfermedad a menudo manifiestan diferentes caracterizaciones fisiológicas, que resultan de la descarga sincrónica y excesiva de un grupo de neuronas en la corteza cerebral. Las crisis epilépticas generalmente tienen un inicio repentino, se extienden en cuestión de segundos y, en la mayoría de los casos son breves. La manifestación de una crisis depende de la región dónde comienza en el cerebro y qué tan rápido se propaga. La correcta identificación de esta información es clave para un tratamiento adecuado de esta enfermedad.

La electroencefalografía (EEG) es una modalidad biomédica no invasiva y ampliamente disponible que se puede utilizar para diagnosticar y diseñar un tratamiento correcto de la epilepsia. El EEG captura las principales características que son relevantes de la crisis, lo cual ayuda a discriminar entre actividad cerebral normal y anormal. Las características más estudiadas en la literatura se pueden clasificar en tres grupos: propiedades espectrales, propiedades morfológicas y descriptores estadísticos. Para un tratamiento integral de estas características ver [2–4].

Primero vamos a explicar brevemente algunos conceptos usados en este trabajo para desarrollar toda la idea propuesta.

La *validación cruzada* es una técnica de validación de modelos usada para evaluar cómo los resultados de un algoritmo de análisis estadístico se pueden generalizar a un conjunto de datos independiente. Esto se hace mediante la partición de un conjunto de datos de la siguiente manera: un subconjunto para entrenar el algoritmo y los datos restantes para la prueba o test. Cada ronda de validación cruzada implica la partición aleatoria del conjunto de datos original en un *conjunto de entrenamiento* y un *conjunto de test*. El *conjunto de entrenamiento* luego se usa para entrenar un algoritmo de aprendizaje supervisado y el *conjunto de test* se usa para evaluar su desempeño. Este proceso se repite varias veces donde el *valor de pérdida* y el *error aparente* de la validación cruzada se utilizan como un indicador de rendimiento. Aplicaciones de este método en epilepsia se remontan a la década de los 70's con [5] usando una técnica llamada *template matching* [6]. La importancia de usar la validación cruzada radica en que en muchas aplicaciones biomédicas los datos pueden ser muy limitados para la etapa de entrenamiento y de test, por lo que si se quieren construir buenos modelos, se debe utilizar la mayor cantidad de datos disponibles para la etapa de entrenamiento. Sin embargo, si el conjunto de validación es pequeño, dará una estimación relativamente ruidosa del rendimiento predictivo [7]. En la *Validación cruzada dejando uno fuera*, los datos de las particiones usan el enfoque de k -iteraciones, donde k es igual al número total de observaciones en los datos. Ver [8,9] para un tratamiento exhaustivo de las propiedades estadísticas y [10–14] para algunos ejemplos en señales EEG.

El coeficiente de correlación producto-momento de Pearson es un test de asociación entre parejas de datos, es usado como una medida del grado de correlación lineal o dependencia entre dos variables, *crisis* y *no-crisis* en nuestro caso. El coeficiente se calcula como el cociente entre la covarianza de las dos variables y el producto de sus desviaciones típicas. Referimos al lector a [15] para un tratamiento comprensivo de este coeficiente.

En este trabajo estudiamos el coeficiente de correlación producto-momento de Pearson para predecir entre los eventos de crisis y no-crisis, a partir de una clasificación lineal de la estimación de los parámetros de la distribución Gaussiana generalizada, modelo estudiado en nuestros trabajos previos [6, 16–19]. Esta distribución tiene dos parámetros: *escala* A y *forma* B que se estiman en cada ritmo cerebral, a partir de una descomposición wavelet. Por lo tanto, tenemos un conjunto de parámetros A y B tanto para eventos de crisis como para los eventos de no-crisis. Estos parámetros se clasifican a través de un clasificador lineal en dos clases: *crisis* o *no-crisis*. A continuación el aporte de este trabajo, se estima un coeficiente de correlación producto-momento de Pearson para cada clase; permitiendo un rango de magnitud entre $[-1, +1]$. Este escalamiento facilita una predicción de la crisis epiléptica en señales EEG.

Este documento está estructurado de la siguiente manera. La sección 2 describe la metodología propuesta que se usa para describir señales de EEG y discriminar entre un evento de crisis y no-crisis en señales epilépticas de EEG. Esta metodología se aplica y luego se compara con dos modelos similares en señales reales de EEG de pacientes que sufren crisis epilépticas en la sección 3. La elección de estos dos modelos es porque usan una metodología similar y están basados en el clásico clasificador de máquinas de vectores de soporte (SVM). Finalmente las conclusiones se informan en la sección 4.

2 Metodología

Sea $X \in \mathbb{R}^{N \times M}$ la matriz en conjunto de M señales EEG $x_m \in \mathbb{R}^{N \times 1}$, medidas simultáneamente en diferentes canales en instantes de tiempo discretos N . La metodología propuesta esta compuesta de 5 etapas.

La primera etapa divide la señal original \mathbf{X} en una serie de segmentos de 2 segundos con 50% de solapamiento, usando una ventana rectangular $\Omega = \Omega_0 \left(w - \frac{W-1}{2}\right)$ con $0 \leq w \leq W - 1$, tal que $\mathbf{X}^{(i)} = \Omega^{(i)} \mathbf{X}$. La segunda etapa consiste en representar cada segmento $\mathbf{X}^{(i)}$ en su correspondiente representación tiempo-frecuencia usando una descomposición multiresolución 1D, a través de la wavelet Daubechies (dB4) con 6 escalas. El propósito de esta descomposición es evaluar la distribución de energía a través de todos los ritmos cerebrales llamados: *banda delta*: 0.5-4Hz, *banda theta*: 4-8Hz, *banda alfa*: 8-13Hz, *banda beta*: 13-30Hz y *banda gamma*: > 30Hz.

$$\mathbf{X}_b^{(i)} = \left[\mathbf{X}_\delta^{(i)} \mathbf{X}_\theta^{(i)} \mathbf{X}_\alpha^{(i)} \mathbf{X}_\beta^{(i)} \mathbf{X}_\gamma^{(i)} \right]^T \quad (1)$$

En la tercera etapa, la distribución estadística de los coeficientes wavelet es representada usando la distribución generalizada Gaussiana (GGD) de media cero, estudiada en nuestros trabajos previos [6, 16–19]. La GGD tiene una función de densidad de probabilidad (PDF) dada por:

$$f_{\text{GGD}}(x; \mathcal{A}, \mathcal{B}) = \frac{\mathcal{B}}{2\mathcal{A}\Gamma(\mathcal{B}^{-1})} \exp\left(-\left|\frac{x}{\mathcal{A}}\right|^{\mathcal{B}}\right) \quad (2)$$

donde $\mathcal{A} \in \mathbb{R}^+$ es el parámetro de *escala*, $\mathcal{B} \in \mathbb{R}^+$ es el parámetro de *forma* y $\Gamma(\cdot)$ es la función Gamma.

Cada escala de la descomposición wavelet es reducida al estimar los parámetros estadísticos de la distribución Gaussiana generalizada \mathcal{A} y \mathcal{B} , (Ver ecuación (2)), con el fin de obtener el conjunto de características asociadas a todas las escalas wavelet, para un segmento de 2 segundos con 50% de solapamiento.

$$\widehat{\mathbf{X}}_b^{(i)} = \left[\mathbf{X}_{(\mathcal{A},\mathcal{B}),\delta}^{(i)} \mathbf{X}_{(\mathcal{A},\mathcal{B}),\theta}^{(i)} \mathbf{X}_{(\mathcal{A},\mathcal{B}),\alpha}^{(i)} \mathbf{X}_{(\mathcal{A},\mathcal{B}),\beta}^{(i)} \mathbf{X}_{(\mathcal{A},\mathcal{B}),\gamma}^{(i)} \right]^T = \arg \max_{[\mathcal{A},\mathcal{B}]^T} f_{\text{GGD}}\left(\mathbf{X}_b^{(i)}; \mathcal{A}, \mathcal{B}\right) \quad (3)$$

En la cuarta etapa se utiliza un análisis discriminante lineal para clasificar en dos clases posibles: ω_s para los eventos de crisis y ω_{ns} para los eventos de no-crisis. Para un vector de características $\widehat{\mathbf{X}}_b^{(i)}$ perteneciente a la clase ω_s o a la clase ω_{ns} , se asume que $\widehat{\mathbf{X}}_b^{(i)}$ tiene una distribución normal con valor medio $\boldsymbol{\mu}_s$ (o $\boldsymbol{\mu}_{ns}$) y matriz de covarianza $\boldsymbol{\Sigma}_s$ (o $\boldsymbol{\Sigma}_{ns}$), entonces:

$$P\left(\widehat{\mathbf{X}}_b^{(i)} \mid \omega_s\right) = \frac{1}{\sqrt{(2\pi)^k |\boldsymbol{\Sigma}_s|}} \exp\left[-\frac{1}{2} \left(\widehat{\mathbf{X}}_b^{(i)} - \boldsymbol{\mu}_s\right)^T \boldsymbol{\Sigma}_s^{-1} \left(\widehat{\mathbf{X}}_b^{(i)} - \boldsymbol{\mu}_s\right)\right] \quad (4)$$

$$P\left(\widehat{\mathbf{X}}_b^{(i)} \mid \omega_{ns}\right) = \frac{1}{\sqrt{(2\pi)^k |\boldsymbol{\Sigma}_{ns}|}} \exp\left[-\frac{1}{2} \left(\widehat{\mathbf{X}}_b^{(i)} - \boldsymbol{\mu}_{ns}\right)^T \boldsymbol{\Sigma}_{ns}^{-1} \left(\widehat{\mathbf{X}}_b^{(i)} - \boldsymbol{\mu}_{ns}\right)\right] \quad (5)$$

donde k es la dimensión del vector estimado $\widehat{\mathbf{X}}_b^{(i)}$ y $P(\cdot)$ es la probabilidad de evento en particular. Para el análisis discriminante lineal, se calculan las muestras $\boldsymbol{\mu}_s$ (o $\boldsymbol{\mu}_{ns}$) de cada clase. Entonces se calcula la muestra $\boldsymbol{\Sigma}_s$ (o $\boldsymbol{\Sigma}_{ns}$) al restar primero la muestra $\boldsymbol{\mu}_s$ (o $\boldsymbol{\mu}_{ns}$) de cada clase a partir de las observaciones de esa clase, y tomando la matriz empírica $\boldsymbol{\Sigma}_s$ (o $\boldsymbol{\Sigma}_{ns}$) del resultado. Por lo tanto el discriminante lineal para el problema de clasificación viene dado por

$$\log \frac{\rho\left(\widehat{\mathbf{X}}_b^{(i)} \mid \omega_s\right)}{\rho\left(\widehat{\mathbf{X}}_b^{(i)} \mid \omega_{ns}\right)} = \left(\widehat{\mathbf{X}}_b^{(i)} - \boldsymbol{\mu}_s\right)^T \boldsymbol{\Sigma}_s^{-1} \left(\widehat{\mathbf{X}}_b^{(i)} - \boldsymbol{\mu}_s\right) + \ln|\boldsymbol{\Sigma}_s| - \left(\widehat{\mathbf{X}}_b^{(i)} - \boldsymbol{\mu}_{ns}\right)^T \boldsymbol{\Sigma}_{ns}^{-1} \left(\widehat{\mathbf{X}}_b^{(i)} - \boldsymbol{\mu}_{ns}\right) - \ln|\boldsymbol{\Sigma}_{ns}|. \quad (6)$$

Finalmente, en la etapa cinco, el coeficiente r de correlación producto-momento de Pearson se estima a través de

$$r = \frac{\sum(\omega_s - \bar{\omega}_s)(\omega_{ns} - \bar{\omega}_{ns})}{\sqrt{\sum(\omega_s - \bar{\omega}_s)^2 \sum(\omega_{ns} - \bar{\omega}_{ns})^2}} \quad (7)$$

donde $\bar{\omega}_s$ y $\bar{\omega}_{ns}$ son las medias de cada clase. La magnitud de r describe la fuerza de asociación entre las dos variables y el signo de r indica la dirección de esta asociación: $r = +1$ cuando las dos variables aumentan juntas, y $r = -1$ cuando una disminuye y la otra aumenta. Así mismo, también muestra el caso más común de dos variables que están correlacionadas linealmente. El valor $r = 0$ indica ausencia de correlación, $r = +1$ indica correlación positiva total y $r = -1$ indica correlación negativa total.

3 Resultados

La metodología propuesta se evaluó mediante la base de datos del Hospital Infantil de Boston, que consta de 36 registros de EEG de sujetos pediátricos con crisis intratables. Las señales EEG son bipolares y están muestreadas a 256Hz para cada sujeto. Cada registro contiene un evento de crisis con un inicio y un final marcado, el cual fue detectado por un neurólogo experimentado. En este trabajo usamos 18 eventos de crisis y 18 eventos de no-crisis de 9 sujetos. Consulte [20] para obtener más detalles.

Durante la etapa de pre-procesamiento se usaron dos filtros Butterworth IIR en cascada, un filtro pasa-bajo de segundo orden con frecuencia de corte de 100 Hz y un filtro pasa-alto de primer orden con una frecuencia de corte de 30 Hz, además se sustrajo el valor medio de cada canal. Consultar [21] para un amplio estado del arte en diferentes tipos de artefactos en señales EEG.

La detección de una crisis consta de dos etapas principales: la extracción de características y una etapa de clasificación basado en un aprendizaje automático, con el fin de caracterizar y cuantificar eventos de crisis o eventos de no-crisis. Usando los mismos datos de entrada, nuestro modelo [Q] fue comparado con dos modelos similares del estado del arte que trabajan también sobre todos los ritmos cerebrales con una longitud de ventana de 2 segundos y solapamiento del 50%: [S] Shoeb et al [22, 23] Usando una ventana rectangular, la extracción de características se realiza a través del calculo de las diferencias de energía a nivel espectral/espacial y su relación espectral/temporal utilizando una wavelet Daubechies (dB4) con 6 escalas junto con la densidad espectral de potencia. [C] Chan et al. [24] Usando una ventana Hamming, la extracción de características se estiman a través del espectro de potencia usando la transformada de Fourier (FFT) junto con un periodograma. Ambos modelos usan un clasificador basado en máquinas de vectores de soporte (SVM). Cabe resaltar que en esta comparación a pesar de que la extracción de características tiene algunas diferencias y la etapa de clasificación es distinta, permite contrastar metodologías similares y el costo computacional que puede ser crucial en implementaciones en tiempo real. Por ejemplo una solución óptima para el clásico clasificador SVM implica una complejidad del orden de n^2 o n^3 productos, donde n es el tamaño del conjunto de datos, el cual por lo general es grande cuando se analizan señales EEG [25, 26], mientras que para un clasificador lineal la complejidad es del orden $mn + mt + nt$, donde m es el número de muestras, n es el número de características y $t = \min(m, n)$ [27].

Las figuras 1-5 muestran el rendimiento a través de los diferentes diagramas de dispersión, para todos los ritmos cerebrales de las dos clases: ω_s para crisis y $\omega_{n,s}$ para no-crisis, permitiendo una buena discriminación por inspección visual para todos los modelos. La nomenclatura usada en los ejes x e y respectivamente, en los diagramas de dispersión son: escala \mathcal{A} y forma \mathcal{B} para [Q] usando un clasificador lineal. Energía \mathcal{E} y potencia \mathcal{P} para [S] y Frecuencia \mathcal{F} y potencia \mathcal{P} para [C], ambos usando un clasificador SVM.

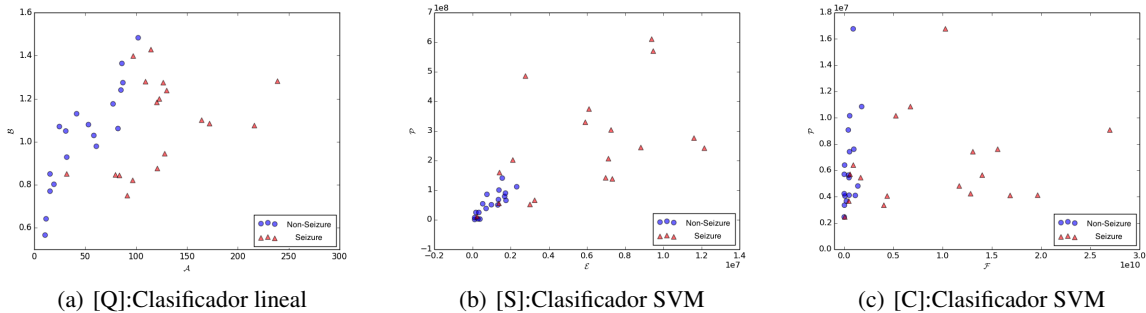


Figure 1: Diagrama de dispersión de la banda delta: (a) [Q] escala \mathcal{A} eje- x y forma \mathcal{B} eje- y . (b) [S] Energía \mathcal{E} eje- x y Potencia \mathcal{P} eje- y . (c) [C] Frecuencia \mathcal{F} eje- x y Potencia \mathcal{P} eje- y . Todos los métodos permiten una discriminación entre eventos de no-crisis (círculos azules (*non-seizure*)) y eventos de crisis (triángulos rojos (*seizure*)).

La comparación entre la tabla de contingencia o matriz de confusión mostrada en la Tabla 1, muestra una sensibilidad o porcentaje de verdaderos positivos (TPR) del 100% para todos los modelos. Mientras que la especificidad o porcentaje de verdaderos negativos (TNR) muestra un mejor rendimiento para el modelo basado en el clasificador lineal [Q] con respecto a los otros modelos que están basados en un clasificador SVM, [S] y [C]. Esto nos permite sugerir que nuestro modelo basado en un clasificador lineal obtiene la mejor precisión para todos los ritmos cerebrales en los 36 eventos estudiados (18 no-crisis y 18 crisis). Para simplificar la interpretación visual, destacamos con color rojo el método que logra la mayor sensibilidad, especificidad y precisión general para cada banda de frecuencia.

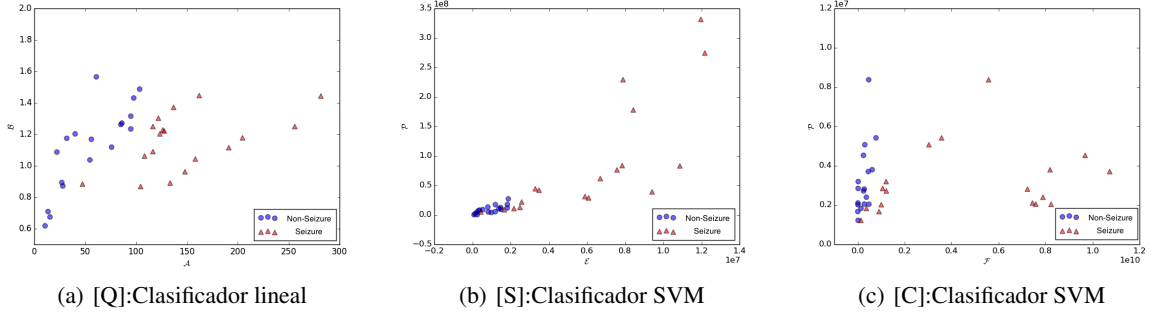


Figure 2: Diagrama de dispersión de la banda theta: (a) [Q] escala \mathcal{A} eje- x y forma \mathcal{B} eje- y . (b) [S] Energía \mathcal{E} eje- x y Potencia \mathcal{P} eje- y . (c) [C] Frecuencia \mathcal{F} eje- x y Potencia \mathcal{P} eje- y . Todos los métodos permiten una discriminación entre eventos de no-crisis (círculos azules (*non-seizure*)) y eventos de crisis (triángulos rojos (*seizure*)).

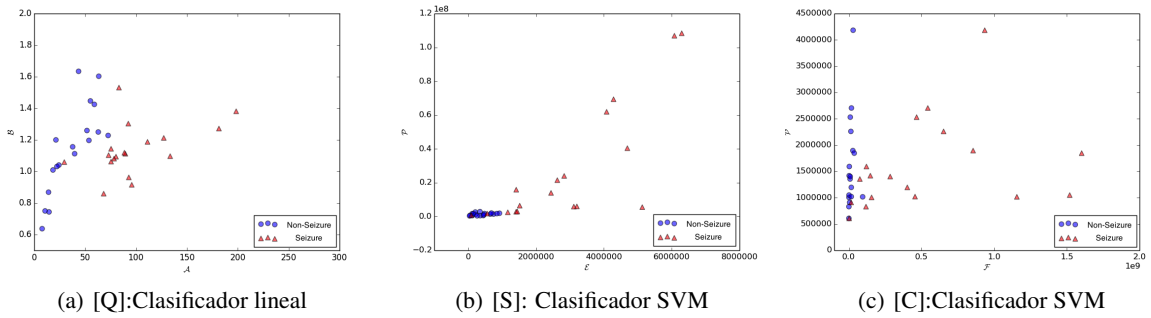


Figure 3: Diagrama de dispersión de la banda alfa: (a) [Q] escala \mathcal{A} eje- x y forma \mathcal{B} eje- y . (b) [S] Energía \mathcal{E} eje- x y Potencia \mathcal{P} eje- y . (c) [C] Frecuencia \mathcal{F} eje- x y Potencia \mathcal{P} eje- y . Todos los métodos permiten una discriminación entre eventos de no-crisis (círculos azules (*non-seizure*)) y eventos de crisis (triángulos rojos (*seizure*)).

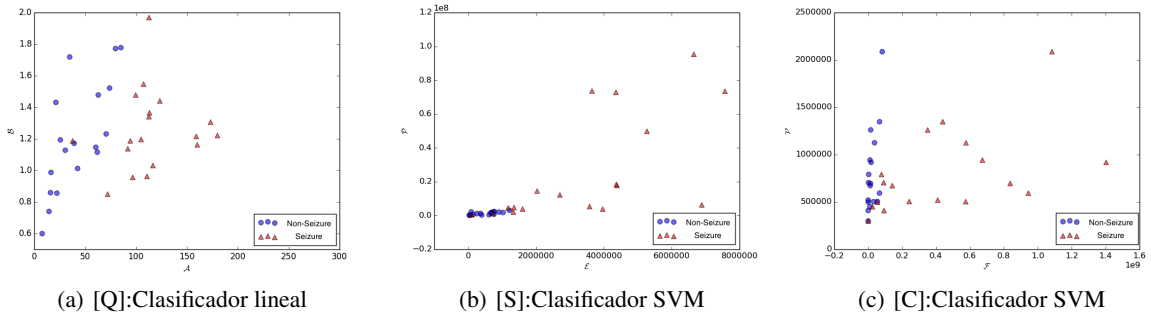


Figure 4: Diagrama de dispersión de la banda beta: (a) [Q] escala \mathcal{A} eje- x y forma \mathcal{B} eje- y . (b) [S] Energía \mathcal{E} eje- x y Potencia \mathcal{P} eje- y . (c) [C] Frecuencia \mathcal{F} eje- x y Potencia \mathcal{P} eje- y . Todos los métodos permiten una discriminación entre eventos de no-crisis (círculos azules (*non-seizure*)) y eventos de crisis (triángulos rojos (*seizure*)).

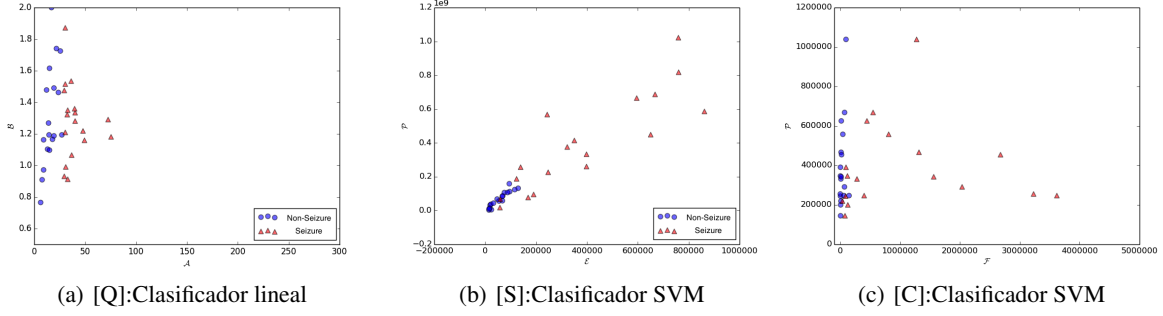


Figure 5: Diagrama de dispersión de la banda gamma: (a) [Q] escala \mathcal{A} eje- x y forma \mathcal{B} eje- y . (b) [S] Energía \mathcal{E} eje- x y Potencia \mathcal{P} eje- y . (c) [C] Frecuencia \mathcal{F} eje- x y Potencia \mathcal{P} eje- y . Todos los métodos permiten una discriminación entre eventos de no-criisis (círculos azules (*non-seizure*)) y eventos de crisis (triángulos rojos (*seizure*)).

Bandas	TPR			FPR			TNR			ACC		
	Q	S	C	Q	S	C	Q	S	C	Q	S	C
Delta	1	1	1	0.16	0.33	0.38	0.83	0.66	0.61	33	30	29
Theta	1	1	1	0.05	0.33	0.38	0.94	0.66	0.61	35	30	29
Alfa	1	1	1	0.11	0.22	0.38	0.88	0.77	0.61	34	32	29
Beta	1	1	1	0.05	0.33	0.44	0.94	0.66	0.55	35	30	28
Gamma	1	1	1	0.05	0.33	0.55	0.94	0.66	0.44	35	30	26

Table 1: Comparación entre el modelo propuesto [Q] basado en un clasificador lineal, contra dos modelos similares [S] y [C] que usan un clasificador SVM. Se estudiaron 36 eventos (18 no-criisis y 18 crisis), para cada ritmo cerebral utilizando la siguiente métrica: sensibilidad o porcentaje de verdaderos positivos (TPR); porcentaje de falsos positivos (FPR); especificidad o porcentaje de verdaderos negativos (TNR); y precisión de clasificación general (ACC).

Para cada iteración- k se calculo el *valor de pérdida* y el *error aparente* de los clasificadores, para todas las observaciones usando el modelo entrenado. El *Valor de pérdida* permite determinar la pérdida de clasificación para las observaciones no utilizadas durante el entrenamiento. El *error aparente* es la respuesta entre la diferencia de los datos de entrenamiento y las predicciones que hace el clasificador, en función de los datos de entrenamiento de entrada. En otras palabras es el porcentaje de error cometido sobre la misma muestra empleada para construir el modelo. Valores bajos en ambos métodos significa una gran confianza o exactitud en el clasificador usado.

La Tabla 2 muestra el rendimiento de los modelos en términos de *valor de pérdida* y el *error aparente*. Se puede observar como el modelo [Q] basado en un clasificador lineal tiene los valores de pérdida y error más bajos con respecto a los modelos [S] y [C] basados en un clasificador SVM.

Bandas	Valor de pérdida			Error Aparente		
	[Q]	[S]	[C]	[Q]	[S]	[C]
Delta	0.083	0.166	0.250	0.083	0.166	0.194
Theta	0.027	0.194	0.222	0.027	0.166	0.194
Alpha	0.055	0.138	0.194	0.055	0.111	0.194
Beta	0.055	0.166	0.222	0.027	0.166	0.222
Gamma	0.083	0.194	0.277	0.027	0.166	0.277

Table 2: *Valor de pérdida* y *Error aparente* para los tres modelos comparados en los 36 eventos (18 no-criisis y 18 crisis), para cada ritmo cerebral. Se puede observar que los 3 modelos clasifican correctamente ya que tienen valores bajos, más sin embargo nuestro modelo [Q] basado en la clasificación lineal tiene los mejores valores con respecto a [S] y [C].

Teniendo toda la información anterior, nosotros nos preguntamos si es posible relacionar los resultados en un rango entre $[-1, +1]$ de tal forma que sirva como una de predicción de las crisis. Para responder a este interrogante, se uso el coeficiente de correlación producto-momento de Pearson para las clases: ω_s para los eventos de crisis y $\omega_{n,s}$ para los

eventos de no-crisis entre el modelo [Q] basado en el clasificador lineal y los dos modelos [S] y [C] basados en un clasificador SVM. El estudio usando 36 eventos (18 crisis y 18 no-crisis) para cada ritmo cerebral, reportado en la Tabla 3 muestra que nuestro modelo [Q] sugiere que se pueden predecir las crisis en un rango de correlación de $[-1, +1]$ ya que, ω_{ns} para las bandas: *delta*, *theta*, *alfa* y *beta* se presenta una alta correlación con un valor de r cercano a 1, excepto para la banda *gamma* donde la correlación es media. Todos con un muy buen valor $p < 0.05$ permitiendo un buen intervalo de confianza. Mientras que para ω_s las bandas no están correlacionadas ya que el valor de r es cercano a cero para las bandas: *delta*, *theta*, *alfa* y *beta* mientras que para la banda *gamma* la no-correlación es máxima. Cabe resaltar que la comparación entre las dos clases en la banda *theta*, el valor de r esta en la mitad del intervalo deseado para los eventos de no-crisis, más no tiene un valor muy cercano respecto a los eventos de crisis. Los modelos [S] y [C] presentan en general valores de correlación muy similares, lo cual no permite discriminar claramente entre eventos de crisis y eventos de no-crisis. Estos resultados sugieren que nuestro modelo basado en la distribución Gaussiana generalizada junto con un clasificador lineal, puede definirse por un valor de escala entre $[-1, +1]$ para discriminar entre eventos de crisis y eventos de no-crisis en todas los ritmos cerebrales, permitiendo definir umbrales a partir del intervalo de confianza para la escala propuesta.

Bandas	[Q]			[C]			[S]		
	r	p	IC95%	r	p	IC95%	r	p	IC95%
Delta ω_{ns}	0.88	< 0.001	0.70 0.95	0.46	0.054	0 0.76	0.83	< 0.001	0.59 0.93
Delta ω_s	0.39	0.11	-0.01 0.72	0.19	0.448	-0.30 0.60	0.50	0.034	0.04 0.78
Theta ω_{ns}	0.81	< 0.001	0.55 0.92	0.56	0.014	0.13 0.81	0.75	≈ 0	0.45 0.90
Theta ω_s	0.51	0.03	0.06 0.79	0.22	0.363	-0.26 0.62	0.76	≈ 0	0.46 0.90
Alfa ω_{ns}	0.80	< 0.001	0.53 0.92	0.14	0.558	-0.34 0.57	0.33	0.176	-0.15 0.69
Alfa ω_s	0.45	0.06	-0.02 0.76	0.30	0.217	-0.18 0.67	0.80	< 0.001	0.53 0.92
Beta ω_{ns}	0.72	< 0.001	0.38 0.89	0.60	0.007	0.19 0.83	0.69	< 0.001	0.34 0.87
Beta ω_s	0.15	0.56	-0.34 0.58	0.50	0.031	0.05 0.78	0.65	≈ 0	0.26 0.85
Gamma ω_{ns}	0.58	0.01	0.15 0.82	0.34	0.167	-0.15 0.69	0.93	≈ 0	0.82 0.97
Gamma ω_s	-0.11	0.66	-0.55 0.38	0.01	0.947	-0.45 0.47	0.85	< 0.001	0.65 0.94

Table 3: Coeficiente de correlación producto-momento de Pearson entre ω_s para un evento de crisis (seizure) y ω_{ns} para un evento de no-crisis (non-seizure) sobre los diferentes modelos de clasificación: [Q] basado en un clasificador lineal, [S] y [C] basados en un clasificador SVM. Se usaron 36 eventos (18 crisis and 18 no-crisis) para cada ritmo cerebral; donde $r = 1$ es una correlación total, $r = 0$ es una ausencia de correlación, $r = -1$ es una no-correlación total. $IC95\%$ es el 95 por ciento del intervalo de confianza. [Q] presenta una alta correlación para las bandas *delta*, *theta*, *alfa* y *beta*, excepto para la banda *gamma* para los eventos de no-crisis, mientras que para los eventos de crisis presenta una ausencia de correlación. Los modelos [S] y [C] no tienen una correlación clara. Esto sugiere que nuestro modelo [Q] puede estimar los cambios entre eventos crisis y no-crisis en una escala de $[-1, +1]$.

La detección para todos los ritmos cerebrales, basado en el intervalo de confianza $IC95\%$ del coeficiente de correlación producto-momento de Pearson de las señales estudiadas es de: 1 segundo en promedio antes del inicio de la crisis para el 50%, detección exacta en tiempo del inicio de la crisis para el 30% y el 20% restante tiene una latencia en promedio de 3.07 segundos.

4 Conclusiones

Los resultados preliminares de este trabajo sugieren que la detección de eventos de crisis utilizando la distribución Gaussiana generalizada basada en un clasificador lineal junto con el coeficiente de correlación producto-momento de Pearson, permiten predecir una crisis de una no-crisis en un valor de escala entre $[-1, +1]$ en todos los ritmos cerebrales. Por lo tanto, es potencialmente interesante para idear algoritmos de detección de crisis de manera automática en tiempo real.

Las perspectivas para el trabajo futuro incluyen una extensa evaluación de esta metodología, mejorar el tiempo de latencia de la detección de la crisis, realizar un estudio detallado de la confiabilidad de la predicción a medida que se genera la crisis, aplicar nuestra metodología en señales a largo-plazo durante el sueño, hacer pruebas con señales en tiempo real y comparaciones con otros métodos de predicción del estado del arte, que incluyan una alta robutez frente al ruido y control de artefactos, así como la intensidad, la duración y la propagación de las crisis por cada canal.

Conflictos de Interes

Los autores declaran que no tienen ningún conflicto de intereses.

Agradecimientos

Parte de este trabajo fue subsidiado por *ITBACyT* DP.557No.34/2015, Actividades científicas y tecnológicas del departamento de investigación del Instituto Tecnológico de Buenos Aires y por el protocolo *07/15* del FLENI.

References

- [1] WHO. World health organization. Mental health action plan 2013-2020. document production services, Geneva, Switzerland [online] (2018). Accessed: 2018-02-02.
- [2] E. Niedermeyer, F. L. da Silva, *Electroencephalography Basic Principles, Clinical Applications, and Related Fields*, Lippincott Williams and Wilkins, 2010.
- [3] I. Osorio, H. P. Zaveri, M. G. Frei, S. Arthurs, *EPILEPSY, The Intersection of Neurosciences, Biology, Mathematics, Engineering, and Physics*, CRC Press Taylor and Francis Group, 2011.
- [4] A. Varsavsky, I. Mareels, M. Cook, *Epileptic seizures and the EEG Measurement, Models, Detection and Prediction*, CRC Press, Taylor and Francis Group, 2011.
- [5] D. Lloyd, C. Binnie, B. Batchelor, Pattern recognition in EEG, *Advances in Behavioral Biology* 5 (1972) 153–166.
- [6] A. Quintero-Rincón, M. Pereyra, C. D’Giano, H. Batatia, M. Risk, A new algorithm for epilepsy seizure onset detection and spread estimation from EEG signals, *Journal of Physics: Conference Series* 705 (1) (2016) 012032.
- [7] C. M. Bishop, *Pattern Recognition and Machine Learning (Information Science and Statistics)*, Springer-Verlag New York, Inc., Secaucus, NJ, USA, 2006.
- [8] E. Alpaydin, *Introduction to Machine Learning*, The MIT Press, 2014.
- [9] T. Hastie, R. Tibshirani, J. Friedman, *The Elements of Statistical Learning: Data Mining, Inference, and Prediction*, Springer Series in Statistics, 2011.
- [10] E. Combrisson, K. Jerbi, Exceeding chance level by chance: The caveat of theoretical chance levels in brain signal classification and statistical assessment of decoding accuracy, *The Journal of Neuroscience Methods* S0165-0270(15)00011-4.
- [11] S. Sargolzaei, M. Cabrerizo, M. Goryawala, A. Eddin, M. Adjouadi, Scalp EEG brain functional connectivity networks in pediatric epilepsy, *Annual International Conference of the IEEE Engineering in Medicine and Biology Society* (2015) 158–166.
- [12] Z. Zhang, K. Parhi, Seizure detection using wavelet decomposition of the prediction error signal from a single channel of intra-cranial EEG, *Annual International Conference of the IEEE Engineering in Medicine and Biology Society* 2014 (2014) 4443–446.
- [13] N. Stevenson, J. O’Toole, I. Korotchikova, G. Boylan, Artefact detection in neonatal EEG, *Annual International Conference of the IEEE Engineering in Medicine and Biology Society* (2014) 926–929.
- [14] S. Liang, Y. Chen, Y. Wang, P. Chen, C. Yang, H. Chiueh, A hierarchical approach for online temporal lobe seizure detection in long-term intracranial EEG recordings, *Journal of Neural Engineering* 10 (4) (2013) 045004.
- [15] S. Glantz, *Primer of Biostatistics*, McGraw-Hill Education, 2011.
- [16] A. Quintero-Rincón, H. Batatia, M. Pereyra, M. Risk, Detecting onset in epilepsy signals using generalized gaussian distribution, *Fifth International Conference on Advances in New Technologies, Interactive Interfaces and Communicability* 2014.
- [17] A. Quintero-Rincón, J. Prendes, M. Pereyra, H. Batatia, M. Risk, Multivariate Bayesian classification of epilepsy eeg signals, *2016 IEEE 12th Image, Video, and Multidimensional Signal Processing Workshop (IVMSP)* (2016) 1–5.
- [18] A. Quintero-Rincón, M. Pereyra, C. D’giano, H. Batatia, M. Risk, A visual EEG epilepsy detection method based on a wavelet statistical representation and the kullback-leibler divergence, *International Federation for Medical and Biological Engineering (IFMBE) Proceedings* 60 (2017) 13–16.
- [19] A. Quintero-Rincón, M. Pereyra, C. D’Giano, M. Risk, H. Batatia, Fast statistical model-based classification of epileptic EEG signals, *Biocybernetics and Biomedical Engineering* (2018) (submitted).

- [20] A. Goldberger, L. Amaral, L. Glass, J. Hausdorff, P. Ivanov, R. Mark, J. Mietus, G. Moody, C.-K. Peng, H. Stanley, Physiobank, physiotoolkit, and physionet: Components of a new research resource for complex physiologic signals, *Circulation* 101(23): 101 (23) (2000) e215–e220.
- [21] A. Quintero-Rincón, S. Liberczuk, M. Risk, EEG preprocessing with hampel filters, *IEEE ARGENCON Conference 2012* 2012 (89).
- [22] A. Shoeb, H. Edwards, J. Connolly, B. Bourgeois, S. T. Treves, J. Guttagf, Patient-specific seizure onset detection, *Epilepsy and Behavior* 5 (2004) 483–498.
- [23] A. Shoeb, J. Guttagf, Application of machine learning to epileptic seizure detection, *Proceedings of the 27th International Conference on Machine Learning*, Haifa, Israel.
- [24] A. Chan, F. Sun, E. Boto, B. Wingeier, Automated seizure onset detection for accurate onset time determination in intracranial EEG, *Clinical Neurophysiology* 119 (12) (2008) 2687–2696.
- [25] A. Bordes, S. Ertekin, J.W.L. Bottou, Fast kernel classifiers with online and active learning, *Journal of Machine Learning Research* 6 (2005) 1579–1619.
- [26] S. Shalev-Shwartz, N. Srebro, SVM optimization: Inverse dependence on training set size, *Machine Learning, Proceedings of the Twenty-Fifth International Conference (ICML)*.
- [27] D. Cai, X. He, J. Han, Training linear discriminant analysis in linear time, *IEEE 24th International Conference on Data Engineering*.